

拟南芥根毛功能基因 *AtGDPD-Like3* 关键氨基酸位点鉴定

王 爽 程玉祥 夏德安*

(东北林业大学林木遗传育种国家重点实验室 哈尔滨 150040)

摘要 *AtGDPD-Like3* 是编码甘油磷酸二酯磷酸二酯酶(GDPD)类似基因, 拟南芥该家族基因 *AtGDPD-Like3* 突变体 shv3 存在严重的根毛发育缺陷。为了鉴定 *AtGDPD-Like3* 关键氨基酸位点, 我们构建 *S⁵³⁸A*、*V⁵⁵⁶A* 和 *D⁶²⁸A* 单点突变 *AtGDPD-Like3*, 分别转化 *atgdpd3* 突变体并观察其恢复根毛缺陷程度。结果显示 *V⁵⁵⁶A*、*D⁶²⁸A* 位点突变 *AtGDPD-Like3* 完全恢复 *atgdpd3* 根毛生长缺陷表型, 但 *S⁵³⁸A* 突变 *AtGDPD-Like3* 只是部分恢复根毛缺陷。这些结果表明 *Ser⁵³⁸* 是 *AtGDPD-Like3* 较为关键的氨基酸位点, 突变影响其蛋白质功能行使, 同时暗示 *AtGDPD-Like3* 还存在其它的关键氨基酸位点。此研究结果为进一步探究 *AtGDPD-Like3* 蛋白功能行使的作用机制奠定了基础。

关键词 拟南芥 *AtGDPD-Like3* ;关键氨基酸位点;点突变

中图分类号 Q945.12 文献标志码 A doi:10.7525/j.issn.1673-5102.2020.01.012

Identification of Key Amino Acid Sites in *AtGDPD-Like3* with Role in *Arabidopsis* Root Hairs

WANG Shuang CHENG Yu-Xiang XIA De-An*

(State Key Laboratory of Tree Genetics and Breeding, Northeast Forestry University, Harbin 150040)

Abstract *AtGDPD-Like3* encode glycerophosphodiester phosphodiesterase-like(GDPD) proteins and shv3, its family gene *AtGDPD-Like3* mutant, has serious root hair defects. To identify key amino acid sites in *AtGDPD-Like3*, we constructed *S⁵³⁸A*, *V⁵⁵⁶A* and *D⁶²⁸A* single site mutation of *AtGDPD-Like3*, which were expressed in *atgdpd3* mutants, respectively. The results showed that *AtGDPD-Like3* with *V⁵⁵⁶A* or *D⁶²⁸A* mutation could completely restore root hairs growth defects of *atgdpd3*, whereas, *AtGDPD-Like3* with *S⁵³⁸A* mutation partially restored root hairs growth defects. These indicate that *Ser⁵³⁸* is the key amino acid site in *AtGDPD-Like3*, which affects function of its protein. Meanwhile, it implies other key amino acid sites in *AtGDPD-Like3*. The results of this study would lay a foundation for further exploring the functional mechanism of *AtGDPD-Like3* protein.

Key words *Arabidopsis thaliana*; *AtGDPD-Like3*; key amino acid locus; point mutation

根毛是由植株根系表皮的单细胞向外凸起形成的管状结构, 是植物营养吸收的主要器官^[1]。根毛发育是细胞极性生长的一种极端类型——顶端生长, 可在十几小时内向特定方向生长十几倍的细胞长度^[2~3]。这种顶端生长是一个复杂的过程, 受到活性氧, 钙离子浓度, 磷脂肌醇, 囊泡运

输, 细胞骨架等诸多因素的精细调控^[4~7]。例如, 活性氧的产生与定位能决定植物细胞的形态发生, 活性氧含量的增加可改变细胞壁的刚性, 促进了根毛的顶端生长^[8~9]; 上游信号激活根毛顶端质膜上的钙离子通道, 调节钙离子内流, 使胞内钙离子浓度增加, 形成钙离子浓度梯度, 从而调控根

基金项目:国家自然科学基金(31570580)

第一作者简介:王爽(1993—), 女, 硕士研究生, 主要从事林木次生生长研究。

* 通信作者 E-mail: xiadean@126.com

收稿日期 2019-04-24

Foundation item: Natural Scientific Foundation of China(31570580)

First author introduction: WANG Shuang(1993—), female, master, mainly engaged in tree secondary growth.

* Corresponding author E-mail: xiadean@126.com

Received date 2019-04-24

毛顶端生长^[10~11]。

甘油磷酸二酯磷酸二酯酶(*GDPD*)催化甘油磷酸二酯水解成甘油-3-磷酸和相应的醇类 , 在原核生物和真核生物的各种生理过程中起着重要作用^[12]。拟南芥 *GDPD* 基因家族可分为 *GDPD* 和 *GDPD-Like*(*GDPDL*)两个亚族。 *AtGDPDL* 基因家族包括 7 个成员(*AtGDPDL1-7*), 与传统的拟南芥 *GDPD* 不同 , 拟南芥 *GDPDL* 包含两个非典型 *GDPD* 结构域^[13]。此外 , 研究显示 *AtGDPD-Like3* 基因在拟南芥的根毛组织中高丰度表达 , 其次是叶柄 , 下胚轴和幼叶。该基因的表达与拟南芥的根毛形态发生密切相关 , 是根毛伸长所必须的。在 *AtGDPD-Like3* 和 *AtGDPD-Like1* 双突变体 *shv3svl1* 中 , 细胞壁分析显示结晶纤维素含量减少致使细胞壁组分发生改变 , 导致严重的根毛细胞发育缺陷^[14~15]。然而 , 影响 *AtGDPD-Like3* 蛋白功能行使的关键氨基酸位点尚不清楚。

在本研究中 , 对 *AtGDPD-Like3* 保守的氨基酸序列位点分析 , 推测出 *Leu*⁵²¹ 、 *Ser*⁵³⁸ 、 *Leu*⁵⁴⁴ 、 *Val*⁵⁵⁶ 、 *Glu*⁶²¹ 、 *Asp*⁶²⁸ 可能是 *AtGDPD-Like3* 蛋白行使功能的关键位点。进一步我们创制 *AtGDPD-Like3* 的 *Ser*⁵³⁸ 、 *Val*⁵⁵⁶ 、 *Asp*⁶²⁸ 单点突变型 , 基于遗传转化策略验证其能否恢复 *atgapdl3* 突变体根毛缺陷表型 , 筛选 *AtGDPD-Like3* 蛋白的功能关键位点 , 为进一步探究 *AtGDPD-Like3* 蛋白功能行使的作用机制奠定基础。

1 材料与方法

1.1 试验材料

野生型拟南芥是 Col-0 生态型 , *AtGDPDL3* 基因 T-DNA 插入株系 SALK_137845 购自 ABRC(Ohio State University , USA)。

植物总 RNA 提取试剂 pBIOZOL Reagent 购自 Bioflux 公司 , 植物基因组 DNA 快速提取试剂购自 Bioteke 公司 , pMD18-T 载体、cDNA 第一链合成试剂 PrimeScript RT reagent Kit with gDNA eraser 和 MutanBEST Kit 试剂盒购自 TaKaRa 公司。高保真 DNA 聚合酶 KOD-Plus 购自 Toyobo 公司 , 胶内 DNA 回收试剂盒 Silica Bead DNA Gel Extraction Kit 购自 Thermo Scientific。 pGWB2 载体购自 Invitrogen 公司 , 基因引物合成以及 DNA 测序也由 Invitrogen 公司完成。 anti-FLAG 鼠单克隆抗体购自 AbMART 公司 , HRP 标记的羊抗鼠 IgG 二抗购自 Abcam 公司。

1.2 试验方法

1.2.1 *AtGDPD-Like3* 氨基酸序列分析

AtGDPD-Like3 基因信息从拟南芥 TAIR10 数据库中获取(<https://www.arabidopsis.org/>), NC-BI-BLAST 检索、获取其同源基因推测氨基酸序列 , 用 BioEdit 比对分析保守氨基酸序列。

1.2.2 植物总 RNA、基因组 DNA 提取和 cDNA 第一链合成

植物总 RNA 的提取和 cDNA 第一链的合成参照试剂盒的提取步骤依次进行。用一步法植物基因组 DNA 快速提取试剂提取植物基因组 DNA。

1.2.3 PCR 扩增和氨基酸位点突变

PCR 扩增体系 20 μL : 13.5 μL ddH₂O , 2 μL dNTPs(2 mmol · L⁻¹) 2 μL 10 × Taq Buffer , 上下游引物(10 mmol · L⁻¹)各 0.5 μL , cDNA 模板 1 μL , Taq DNA 聚合酶 1 μL 。 PCR 反应程序 : 预变性 94℃ 3 min , 变性 94℃ 30 s , 引物退火温度 56℃ , 延伸 30 s 。 T-DNA 鉴定和 *ACTIN2* 基因扩增分别为 30 和 25 个循环。氨基酸位点突变的制备参见 MutanBEST Kit 所提供的方法。

1.2.4 T-DNA 插入基因突变体鉴定

提取待鉴定的植株基因组 DNA 作模板 , 使用 SALK_137845-LP 和 SALK_137845-RP 、 SALK_137845-LP 和 LBb1 、 LBb1 和 SALK_137845-RP 三对引物进行交叉 PCR 扩增 , 对 T-DNA 插入突变体进行鉴定 ; 从琼脂糖胶上回收扩增的 DNA 片段 , 连接 pMD18-T 载体 , 对插入片段克隆测序。试验中所用引物及序列参见表 1 。

1.2.5 植物表达载体构建及拟南芥遗传转化

植物表达载体的构建采用 Gateway 系统^[16]。拟南芥遗传转化采用浸花法^[17] , 选用达到 8 周龄拟南芥用于遗传转化。

1.2.6 蛋白质 Western 印迹分析

拟南芥转基因植株体内 FLAG-融合蛋白质水平检测采用 Western 免疫印迹法^[18]。提取植物组织蛋白质用于 SDS-APGE , 将 SDS-胶中蛋白电转移至聚偏二氟乙烯膜(PVDF)上 , 用 5% 脱脂奶粉 TBST 4℃ 封闭过夜。然后加入 1:2 000 稀释的 anti-FLAG 鼠单克隆抗体于室温下孵育 1 h 30 min , TBST 洗膜 3 次后 , 加入 1:2 500 稀释的 HRP 标记的羊抗鼠 IgG 二抗于室温下孵育 1 h , TBST 洗膜 3 次后 , 用 ECL 化学发光显色液进行显色。

表 1 所用引物及序列

Table 1 Primer sequences used in this study

引物名称 Primer name	引物序列 Primer sequence(5'-3')	用途 Use
SALK_137845-LP	TGCTGGGAAGCTTTCTCACTTT	T-DNA 鉴定 T-DNA determination
SALK_137845-RP	CACTAAACGTCGCTTTAGCTCCA	
LBB1	GCGTGGACCGCTTGCTGCAACT	
CDS-up	CACCATGCGAGGGTTATTACGAGCTTC	全长 CDS 扩增 Amplification of full length CDS
CDS-down	TCACAGAACTAGAACAGAGGCCAAG	
mF	CTTATCGTCGTCATCCTGTAATCACTTTAGGTTTTACTTGAGC	
mR	GATTACAAGGATGACGACGATAAGCCATGGCAACGCTCACTGGTG	FLAG 融合 Fusion of FLAG tag
S538A-up	GTCATGATTCAAGGCAACAAACAG	S ⁵³⁸ A 单点突变 S ⁵³⁸ A site mutation
S538A-down	CTTTGTGGCTGTACTATTGCTG	
V556A-up	GAGACTGCCTACAAAAGTTGAAG	V ⁵⁵⁶ A 单点突变 S ⁵⁵⁶ A site mutation
V556A-down	GTACTGGCTCTGCTTCTTGAAG	
D628A-up	CATATGCCTTCTTGCTGATGC	D ⁶²⁸ A 单点突变 D ⁶²⁸ A site mutation
D628A-down	GTTGAGATAAAAACATCATTCTG	
AtGDPDL3-RT-up	TGCTGGGAAGCTTTCTCACTTT	转基因鉴定 Determination of transgene
AtGDPDL3-RT-down	CACTAAACGTCGCTTTAGCTCCA	
ACTIN-up	CCCAGTGTGTTGGTAGGCCAACGAC	
ACTIN-down	CATAGCGGGAGACTAAAGCTCTC	ACTIN 内参基因 Internal control gene ACTIN

1.2.7 拟南芥根毛形态观察及量化统计

对 1/2MS 培养基上生长 7 天的拟南芥幼苗, 用体式显微镜观察其根毛表型。根毛长度和密度的统计均取来胚轴与根交界处自上而下 4 mm 区间的所有根毛。数据统计采用使用 SPASS 统计软件进行, 采用单因素方差分析。

2 结果与分析

2.1 AtGDPD-Like3 单突变位点选择

鉴定 AtGDPD-Like3 基因 T-DNA 插入突变体时, 以 SALK_137845 植株基因组 DNA 为模板, 用引物 SALK_137845-LP 和 SALK_137854-RP 未扩增出目标带, 而 SALK_137845-RP 和 LBB1 扩增出

目标带, 两者表明 T-DNA 插入在该基因区域。DNA 测序显示插入位点在 At4g26690 第 7 个外显子 260 bp 处。RT-PCR 分析显示未检测到 AtGDPD-Like3 基因转录产物, 因此 SALK_137845 是 AtGDPD-Like3 基因敲除突变体。

AtGDPD-Like3 编码 759 个氨基酸, 含有 GDPD-Like 结构域。选用大豆、毛果杨、油菜、甘蓝、高粱、玉米等 22 个物种的 AtGDPD-Like3 同源基因, 推测氨基酸序列一致性比对显示 Leu⁵²¹、Ser⁵³⁸、Leu⁵⁴⁴、Val⁵⁵⁶、Glu⁶²¹、Asp⁶²⁸ 是保守氨基酸位点(图 1)。这些氨基酸位点可能是 GDPD-Like 结构域功能的关键位点。基于此我们选取其中的 3 个保守位点 Ser⁵³⁸、Val⁵⁵⁶、Asp⁶²⁸ 作为突变的目标, 验证其位点的分子功能。

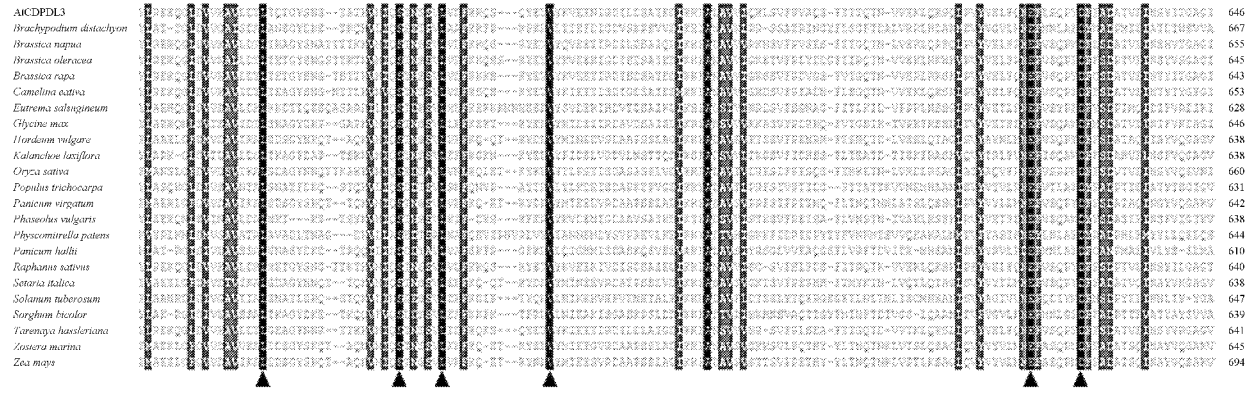


图 1 AtGDPD-Like3 及其同源蛋白氨基酸序列比对

Fig. 1 Amino acid sequence alignment of AtGDPD-Like3 and its homologous proteins

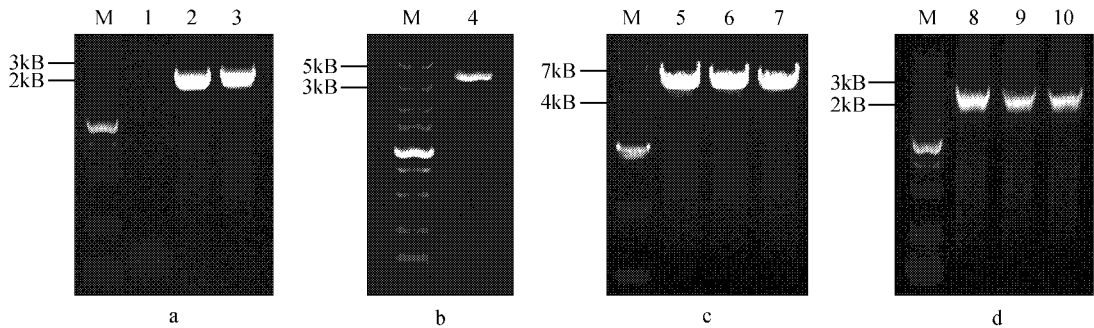


图2 AtGDPD-Like3 单点 S⁵³⁸A、V⁵⁵⁶A 和 D⁶²⁸A 突变的载体构建 M. Marker ;a. 1~3 ,FLAG-tag + N 端信号肽片段 ;FLAG-tag + AtGDPD-Like3(去除信号肽部分) ;FLAG-AtGDPDL3 ;b. 4 ,pENTR/SD/D-FLAG-AtGDPDL3 ;c. 5~7 ,pENTR/SD/D-FLAG-AtGDPDL3-S⁵³⁸A,-V⁵⁵⁶A,-D⁶²⁸A 线性片段 ;d. 8~10 ,pENTR/SD/D-FLAG-AtGDPDL3-S⁵³⁸A,-V⁵⁵⁶A,-D⁶²⁸A 重组质粒 PCR 鉴定

Fig.2 Construction of vectors of single site mutations S⁵³⁸A, V⁵⁵⁶A and D⁶²⁸A in AtGDPD-Like3, respectively a. 1~3 ,N-terminal signal peptides plus FLAG fragment FLAG-AtGDPDL3 without signal peptides and FLAG-AtGDPDL3 ;b. 4 ,pENTR/SD/D-FLAG-AtGDPDL3 ;c. pENTR/SD/D-FLAG-AtGDPDL3-S⁵³⁸A,-V⁵⁵⁶A and -D⁶²⁸A fragments ;d. 8~10 ,PCR determination of pENTR/SD/D-FLAG-AtGDPDL3-S⁵³⁸A,-V⁵⁵⁶A and -D⁶²⁸A plasmids

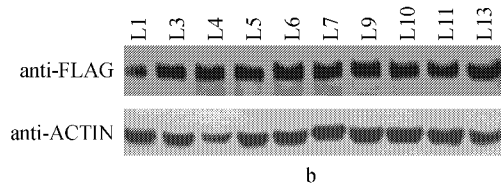
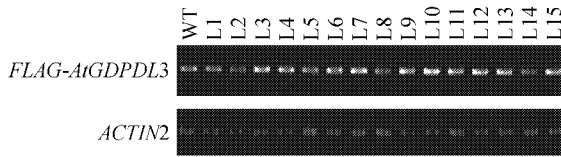


图3 FLAG-AtGDPDL3-S⁵³⁸A,-V⁵⁵⁶A,-D⁶²⁸A 和 FLAG-AtGDPDL3 转基因分子鉴定 a. 转基因植株转录水平鉴定 b. 转基因植株蛋白质含量鉴定 ACTIN 蛋白质量作为定量内标蛋白 ;WT. 野生型拟南芥 ;L1~4, L5~8, L9~11 和 L12~15 分别为 FLAG-AtGDPDL3-S⁵³⁸A,-V⁵⁵⁶A,-D⁶²⁸A 和 FLAG-AtGDPDL3 转基因植株

Fig.3 Molecular identification of the transgenes of FLAG-AtGDPDL3-S⁵³⁸A,-V⁵⁵⁶A,-D⁶²⁸A and FLAG-AtGDPDL3 a. Detection of transgenic plants on the transcriptional level ;b. Determination of transgenic plants on the protein level using the ACTIN protein as a control ;WT. Wild-type *Arabidopsis* ;L1~4, L5~8, L9~11 and L12~15 indicate the FLAG-AtGDPDL3-S⁵³⁸A,-V⁵⁵⁶A,-D⁶²⁸A and FLAG-AtGDPDL3 transgenic plants ,respectively

2.2 S⁵³⁸A、V⁵⁵⁶A 和 D⁶²⁸A 单位点突变的构建

实验采用重叠 PCR 策略 , 将 FLAG 标签短肽融合在 AtGDPD-Like3 信号肽之后。以拟南芥 cDNA 为模板 , 分别用 CDS-up/mR 和 mF/CDS-down 两对引物进行 PCR 扩增 , 得到的产物 (图 2a 泳道 1~2) 混合作为模板 , 再用 AtGDPD-Like3 基因 CDS-up/down 引物进行扩增 , 得到 FLAG-AtGDPDL3 片段 (图 2 泳道 3)。将之连接到 pENTR/SD/D-TOPO 载体上 (图 2b) , 测序表明 FLAG 短肽序列融合在 AtGDPD-Like3 信号肽和 GDPD-Like 结构域之间。

以 pENTR/SD/D-FLAG-AtGDPDL3 质粒为模板 , 分别用 3 对单点突变引物 S⁵³⁸A-up/down, V⁵⁵⁶A-up/down 和 D⁶²⁸A-up/down 进行扩增 , 得到 S⁵³⁸A, V⁵⁵⁶A 和 D⁶²⁸A 单点突变 FLAG-AtGDPDL3 线性片段 (图 2c)。经末端磷酸化处理后自身环化 转化 TOPO10。对菌落进行 PCR 鉴定 , 得到的片段

与目标片段大小相符 (图 2d) 测序结果显示除指定位点突变外无其它位点碱基突变。用 LR 重组反应将 pENTR/SD/D-TOPO 载体上这 4 种 FLAG-AtGDPDL3 片段重组到 pGWB2 植物表达载体。将其转化 GV3101 农杆菌 , 用于拟南芥 *atgdpdl3* 突变体功能互补实验。

2.3 点突变的 AtGDPD-Like3 转化 *atgdpdl3* 突变体

用浸花法对 *atgdpdl3* 突变体植株进行转化后 , 获得转 FLAG-AtGDPDL3-S⁵³⁸A,-V⁵⁵⁶A 和 -D⁶²⁸A, FLAG-AtGDPDL3 抗性植株 4,4,3 和 4 株系。以转基因植株 cDNA 为模板 , 用引物 AtGDPDL3-RT-up/down 进行半定量 RT-PCR 分析 , 结果显示 FLAG-AtGDPDL3 基因及其 S⁵³⁸A, V⁵⁵⁶A 和 D⁶²⁸A 单点突变形 , 在转基因植株中转录水平均较高 (图 3a)。用 FLAG 抗体对转录水平高的转基因植株进行免疫印迹 , 结果显示 FLAG-AtGDPDL3-S⁵³⁸A,-V⁵⁵⁶A,-D⁶²⁸A 和 FLAG-AtGDPDL3 表达量均较高

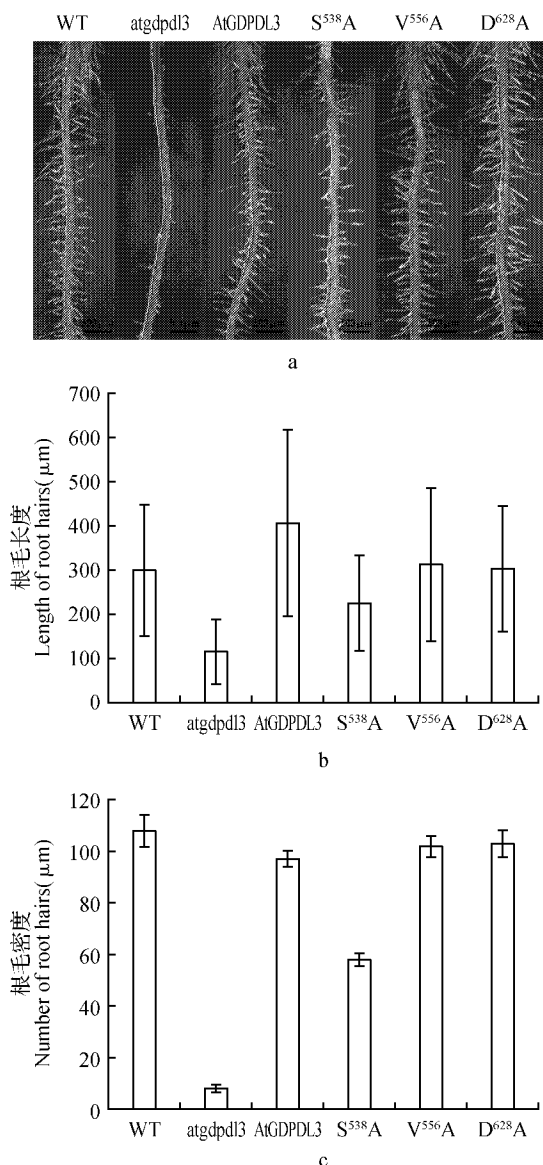


图 4 AtGDPD-Like3 的 Ser⁵³⁸、Val⁵⁵⁶、Asp⁶²⁸ 位点对根毛表型的作用 a. WT, atgpd13 突变体, FLAG-AtGDPDL3 ; FLAG-AtGDPDL3-S⁵³⁸ A, -V⁵⁵⁶ A 和-D⁶²⁸ A 转基因植株根毛图 b. 统计分析各植株根毛平均长度 c. 统计分析各植株根毛平均密度

Fig.4 Roles of Ser⁵³⁸, Val⁵⁵⁶ or Asp⁶²⁸ of AtGDPD-Like3 in root hair phenotypes a. Root hair photos of WT, atgpd13 mutants, FLAG-AtGDPDL3 and FLAG-AtGDPDL3-S⁵³⁸ A, -V⁵⁵⁶ A and -D⁶²⁸ A transgenic plants ; b. Statistical analysis of root hair length in WT and transgenic plants ; c. Statistical analysis of root hair density in WT and transgenic plants

(图 3b)。这表明 FLAG-AtGDPDL3-S⁵³⁸ A, -V⁵⁵⁶ A, -D⁶²⁸ A 和 FLAG-AtGDPDL3 在 atgpd13 突变体植株中均正常表达,这些材料用于接下来的根毛表型分析。

2.4 单点突变 AtGDPD-Like3 对 atgpd13 根毛缺陷表型恢复程度分析

在培养基上垂直培养 7 天后显微观察根毛生

长情况显示(图 4a),T-DNA 插入突变体 atgpd13 几乎不长根毛,表现根毛缺陷;FLAG-AtGDPDL3 转入 atgpd13 突变体,能够完全恢复根毛缺陷表型;转入 FLAG-AtGDPDL3-S⁵³⁸ A, -V⁵⁵⁶ A 和-D⁶²⁸ A 对根毛缺陷恢复效果之间明显不同,S⁵³⁸ A 突变 FLAG-AtGDPDL3 是部分程度地恢复根毛缺陷,而 V⁵⁵⁶ A 和 D⁶²⁸ A 突变 FLAG-AtGDPDL3 却完全恢复根毛缺陷表型。

为了准确地显示这些遗传材料根毛表型的差异,对胚轴与根交界处起自上而下 4 mm 区间所有根毛长度和密度进行了量化统计(图 4:b ~ c)。FLAG-AtGDPDL3、FLAG-AtGDPDL3-V⁵⁵⁶ A、FLAG-AtGDPDL3-D⁶²⁸ A 转基因植株与野生型相比,根毛长度和密度几乎一致。没有明显差异,而 FLAG-AtGDPDL3-S⁵³⁸ A 转基因植株根毛平均长度减少了 25%,根毛平均密度减少了 46%。这表明 V⁵⁵⁶ A、D⁶²⁸ A 位点突变不影响 AtGDPD-Like3 恢复 atgpd13 根毛缺陷表型,换言之 Val⁵⁵⁶、Asp⁶²⁸ 位点不是 AtGDPD-Like3 蛋白质的关键位点。相反 S⁵³⁸ A 突变 AtGDPD-Like3 只是部分恢复 atgpd13 突变体根毛缺陷表型,表明 Ser⁵³⁸ 位点是 AtGDPD-Like3 一个较为关键的位点。

3 讨论

根毛是植物重要器官之一,负责植物从土壤中吸收水份和矿质营养^[19]。Jones 等^[20]采用突变体策略鉴定出多个参与拟南芥根毛发育的重要基因,其中 RHM4 是本研究的 AtGDPD-Like3 基因。在这里我们鉴定 AtGDPD-Like3 一个新的 T-DNA 插入突变体(SALK_137845),该突变体 atgpd13 根毛生长严重缺陷,与 rhm4 突变体表型一样,实验转入 FLAG-AtGDPDL3 完全恢复 atgpd13 根毛缺陷,显示该基因对拟南芥根毛发育的功能。

在鉴定 AtGDPD-Like3 关键位点时,实验采用融合标签短肽 FLAG 策略。FLAG 短肽含 8 个氨基酸,通常不影响目标蛋白质正常结构和功能,却方便用其肽抗体(anti-FLAG)分析目标蛋白质表达量。AtGDPD-Like3 的 N 端含有信号肽,C 端存在 GPI 锚^[9]。为了不破坏 GPI 锚,确保 FLAG-AtGDPDL3 细胞内正确定位,实验把 FLAG 短肽融合在 AtGDPD-Like3 的 N 端信号肽之后。

用能否恢复 atgpd13 根毛缺陷策略,实验鉴定 AtGDPD-Like3 保守氨基酸位点 Ser⁵³⁸、Val⁵⁵⁶ 和 Asp⁶²⁸ 对根毛缺陷恢复效果。其中 Ser⁵³⁸ 突变的

AtGDPD-Like3 只能部分恢复根毛缺陷,表明该位点是 AtGDPD-Like3 关键位点。它位点 GDPD-Like 结构域上,很可能是该酶活性依赖的重要位点。今后可以分析 Ser⁵³⁸突变的 AtGDPD-Like3 酶学相关动力学性质,了解它是如何影响 AtGDPD-Like3 的。

此外,实验结果还表明 AtGDPD-Like3 存在其它的关键位点。由于 AtGDPD-Like3 包含两个 GDPD-Like 结构域^[8],这两个结构域的功能是否冗余还不清楚。本实验的 Ser⁵³⁸突变位于第二个 GDPD-Like 结构域,第一个 GDPD-Like 结构域也可能行使作用。在本研究中只鉴定 AtGDPD-Like3 保守的 3 个单位点的作用,对于其他位点是否影响 AtGDPD-Like3 功能没有涉及。今后我们将采用双位点或多位点同时突变策略,来确定它们对 AtGDPD-Like3 行使功能的作用。

参 考 文 献

- [1] Feng Y ,Xu P ,Li B S ,et al. Ethylene promotes root hair growth through coordinated EIN3/EIL1 and RHD6/RSL1 activity in *Arabidopsis*[J]. Proceedings of the National Academy of Sciences of the United States of America , 2017 ,114(52) :13834 – 13839.
- [2] Wan Z Y ,Chai S ,Ge F R ,et al. *Arabidopsis* PROTEIN S-ACYL TRANSFERASE4 mediates root hair growth[J]. Plant Journal 2017 ,90(2) :249 – 260.
- [3] Cole R A ,Fowler J E. Polarized growth maintaining focus on the tip[J]. Current Opinion in Plant Biology 2006 ,9 (6) :579 – 588.
- [4] Diet A ,Link B ,Seifert G J ,et al. The *Arabidopsis* root hair cell wall formation mutant *lrx1* is suppressed by mutations in the *RHM1* gene encoding a UDP-L-rhamnose synthase [J]. The Plant Cell 2006 ,18(7) :1630 – 1641.
- [5] Ovecka M ,Lang I ,Baluška F ,et al. Endocytosis and vesicle trafficking during tip growth of root hairs[J]. Protoplasma 2005 ,226(1 – 2) :39 – 54.
- [6] Yoo C M ,Quan L ,Cannon A E ,et al. AGD1 ,a class 1 ARF-GAP acts in common signaling pathways with phosphoinositide metabolism and the actin cytoskeleton in controlling *Arabidopsis* root hair polarity[J]. The Plant Journal 2012 ,69(6) :1064 – 1076.
- [7] Kusano H ,Testerink C ,Vermeer J E M ,et al. The *Arabidopsis* Phosphatidylinositol Phosphate 5-Kinase PIP5K3 is a key regulator of root hair tip growth[J]. The Plant Cell , 2008 ,20(2) :367 – 380.
- [8] Takeda S ,Gapper C ,Kaya H ,et al. Local positive feedback regulation determines cell shape in root hair cells [J]. Science 2008 ,319(5867) :1241 – 1244.
- [9] Noctor G ,Foyer C H. Intracellular redox compartmentation and ROS-related communication in regulation and signaling[J]. Plant Physiology 2016 ,171(3) :1581 – 1592.
- [10] Carol R J ,Dolan L. Building a hair tip growth in *Arabidopsis thaliana* root hairs[J]. Philosophical Transactions of the Royal Society B :Biological Sciences ,2002 ,357 (1422) :815 – 821.
- [11] Zhang Y ,Xiao Y Y ,Du F ,et al. *Arabidopsis* VILLIN4 is involved in root hair growth through regulating actin organization in a Ca²⁺-dependent manner[J]. New Phytologist 2011 ,190(3) :667 – 682.
- [12] Tommassen J ,Eiglmeier K ,Cole S T ,et al. Characterization of two genes *glpQ* and *ugpQ* encoding glycerophosphoryl diester phosphodiesterases of *Escherichia coli* [J]. Molecular and General Genetics ,1991 ,226(1 – 2) :321 – 327.
- [13] Cheng Y X ,Zhou W B ,El Sheery N I ,et al. Characterization of the *Arabidopsis* glycerophosphodiester phosphodiesterase(GDPD) family reveals a role of the plastid-localized AtGDPD1 in maintaining cellular phosphate homeostasis under phosphate starvation[J]. The Plant Journal 2011 ,66(5) :781 – 795.
- [14] Hayashi S ,Ishii T ,Matsunaga T ,et al. The glycerophosphoryl diester phosphodiesterase-like proteins SHV3 and its homologs play important roles in cell wall organization[J]. Plant and Cell Physiology 2008 ,49(10) :1522 – 1535.
- [15] Yeats T H ,Somerville C R. A dual mechanism of cellulose deficiency in *shv3sv1*[J]. Plant Signaling & Behavior 2016 ,11(9) :e1218108.
- [16] Xu R Q ,Li Q Q. Protocol :streamline cloning of genes into binary vectors in Agrobacterium via the Gateway® TOPO vector system[J]. Plant Methods 2008 ,4 :4.
- [17] Clough S J ,Bent A F. Floral dip :a simplified method for Agrobacterium-mediated transformation of *Arabidopsis thaliana*[J]. The Plant Journal 1998 ,16(6) :735 – 743.
- [18] Hnasko T S ,Hnasko R M. The western blot[M].// Hnasko R. ELISA :methods and protocols. New York :Humana Press 2015 :87 – 96.
- [19] Canales J ,Contreras-López O ,Álvarez J M ,et al. Nitrate induction of root hair density is mediated by TGA1/TGA4 and CPC transcription factors in *Arabidopsis thaliana*[J]. The Plant Journal 2017 ,92(2) :305 – 316.
- [20] Jones M A ,Raymond M J ,Smirnoff N. Analysis of the root-hair morphogenesis transcriptome reveals the molecular identity of six genes with roles in root-hair development in *Arabidopsis*[J]. The Plant Journal ,2006 ,45 (1) :83 – 100.